

Otomatik Gerilim Regülatör Sistemi için Deniz Yırtıcıları Algoritmasının Performans Analizi

Performance Analysis of Marine Predators Algorithm for Automatic Voltage Regulator System

Zeynep Garip¹ , Murat Erhan Çimen² , Ali Fuat Boz³ 



ÖZ

Bu makalede otomatik gerilim regülatör sistemin oransal integral türev denetleyici optimal parametre değerlerini ayarlamak amacıyla yeni bir algoritma olan deniz yırtıcıları algoritması önerilmiştir. Önerilen algoritma ile terminal geriliminin maksimum yüzde aşımı, yerleşme süresi, yükselme süresi ve kararlı durum hatasını en aza indirmek ve optimal oransal integral türev denetleyicisi ile otomatik gerilim regülatör sisteminin geçici durum yanıtının iyileştirilmesi amaçlanmıştır. Denetleyici parametrelerini ayarlamak için karesel hatanın integrali, ağırlıklı karesel hatanın integrali, zamanın karesel integrali ve Zee-Lee Gaing amaç fonksiyonları kullanılmıştır. Deniz yırtıcıları algoritma tabanlı oransal-integral-türev denetleyicinin performansı, literatürde önerilen çeşitli amaç fonksiyonları kullanılarak gerçekleştirilen farklı meta-sezgisel algoritmalar tarafından uyarlanmış oransal integral türev denetleyicileri ile karşılaştırılmış analizler yapılmıştır. Bu analizler geçici tepki analizi, kök konum analizi ve sağlamlık gibi analiz yöntemleri ile gerçekleştirilmiştir. Simülasyon sonuçları, deniz yırtıcıları algoritmasıyla ayarlanan oransal integral türev kontrollü otomatik gerilim regülatör sisteminin yerleşme süresi, tepe aşımı ve kararlılık açısından daha iyi performans gösterdiğini kanıtlamıştır.

Anahtar Kelimeler: Otomatik Gerilim Regülatörü, Oransal-Integral-Türev, Deniz Yırtıcıları Algoritması, Optimizasyon

ABSTRACT

In this study, the emerging, novel marine predators algorithm is proposed to adjust the proportional–integral–derivative controller of the automatic voltage regulator system. With the proposed algorithm, this study aimed to minimize the maximum percent excess of the terminal voltage, settling time, rise time, and steady-state error and improve the transient response of the automatic voltage regulator system with an optimal proportional–integral–derivative controller. The integral of squared error, integral of weighted squared error, squared integral of time, and Zee-Lee Gaing objective functions were used to set the controller parameters. The performance of the proportional–integral–derivative controller based on the marine predators algorithm was compared with those of the proportional–integral–derivative controllers adapted by different metaheuristic algorithms using various objective functions suggested in the literature. These analyses were conducted using analysis methods such as transient response, root locus, and robustness. The simulation results show better performance in terms of the settling time, over-peak, and stability of the proportional–integral–derivative-controlled automatic voltage regulator system tuned with the marine predators algorithm.

Keywords: Automatic Voltage Regulator, Proportional-Integral-Derivative, Marine Predators Algorithm

¹(Dr. Öğr. Üyesi), Sakarya Uygulamalı Bilimler Üniversitesi, Teknoloji Fakültesi, Bilgisayar Mühendisliği, Sakarya-Türkiye

²(Arş. Gör.), Sakarya Uygulamalı Bilimler Üniversitesi, Teknoloji Fakültesi, Elektrik-Elektronik Mühendisliği, Sakarya-Türkiye

³(Prof. Dr., Sakarya Uygulamalı Bilimler Üniversitesi, Teknoloji Fakültesi, Elektrik-Elektronik Mühendisliği, Sakarya-Türkiye

ORCID: Z.G. 0000-0002-0420-8541;
M.E.Ç. 0000-0002-1793-485X;
A.F.B. 0000-0001-6575-7678

Corresponding author:

Zeynep GARİP
Sakarya Uygulamalı Bilimler Üniversitesi,
Teknoloji Fakültesi, Bilgisayar Mühendisliği,
Sakarya-Türkiye
E-mail address: zbatik@subu.edu.tr

Submitted: 20.11.2021

Revision Requested: 09.03.2022

Last Revision Received: 16.03.2022

Accepted: 28.03.2022

Published Online: 16.05.2022

Citation: Z., Cimen, M. E., & Boz, A. F. (2022). Performance analysis of marine predators

algorithm for automatic voltage regulator system.

Acta Infologica, 6(1), 53-64.

<https://doi.org/10.26650/acin.1026494>

1. GİRİŞ

Son yıllarda, geleneksel yaklaşımalarla çözüm üretilmeye çalışılan zor ve karmaşık mühendislik problemlerinde doğadan ilham alınarak geliştirilen hesaplamaya dayalı sezgisel yaklaşımalar sıkılıkla kullanılmaktadır. Mühendislikte karşılaşılan problemlerden biri, bir sistemin kontrolünde kullanılan PID denetleyici kazançlarının istenen performansı karşılayacak şekilde ayarlanmasıdır. Sistemden istenen optimum cevabın elde edilebilmesi en uygun PID parametreleri ile mümkündür. PID kontrol tekniği süreç kontrolü, motor sürücüler, uçuş kontrolleri gibi birçok endüstri uygulamasında sıkılıkla kullanılmaktadır.

AVR sisteminin davranışını, hızını ve kararlılığını iyileştirmek amacıyla terminal gerilimindeki değişimlere verimli bir şekilde dönüş sağlanabilmesi için denetleyici seçimine dikkat edilmesi gerekmektedir. PID kontrol, tüm sistemlere uyum sağlama, kolay anlaşılabilir ve gerçekleştirilebilir basit bir yapısından kaynaklanmaktadır. PID kontrolünün özelliklerine ek olarak kararlılık, tasarım ve performans da eklenmiştir (Bingul ve Karahan, 2018). Bundan dolayı AVR sistemler için PID kontroller uygulanmasına karar verilmiştir.

AVR sisteminde PID denetleyici uygulamasının yeterliliği literatürde birçok çalışma ile kanıtlanmıştır. PID denetleyicisinin parametrelerinin ayarlamasında geleneksel ve sezgisel hesaplama yöntemleri kullanılmaktadır. Ziegler-Nichols (ZN), Cohen-Coon (CC) yöntemleri gibi geleneksel yöntemler büyük salımım ve aşım ile optimum PID denetleyici parametrelerini sağlarlar (Bingul ve Karahan, 2018). Son zamanlarda, birçok araştırmacı tarafından AVR sistemler için PID ayarlamasına uygun çözüm bulmak amacıyla sezgisel algoritmalar kullanmaktadır. Denetleyicinin performansını artırmak için uygulanan sezgisel optimizasyon tabanlı ayarlama yöntemleri Tablo 1'de özetlenmiştir. Tablo 1'de algoritmaların uyguladığı AVR sistemlerinin performanslarını belirlemedeki kriterler verilmiştir. Gözde ve ark. AVR sistemde PID kontrolüyle optimal kontrol sağlamak amacıyla yapay arı koloni (ABC) algoritmasını önermişlerdir. Algoritmanın performansını analizinde diferansiyel evrim (DE) ve parçacık sürü optimizasyon (PSO) algoritmasıyla karşılaştırmıştır (Gozden ve Taplamacioglu, 2011). Panda ve ark. (2012) PSO algoritmasının en iyi bilinen parçacığın konumunu ortadan kaldırarak Optimizasyon bağlantıları (MOL) algoritmasını önermişlerdir. Önerilen MOL algoritması ile MOL-PID kontrolü ile AVR sistemini tasarlamış ve gerçekleştirmiştir. Önerilen algoritmanın performansını test etmek amacıyla ABC, PSO ve DE algoritmaları kullanmışlardır. Mohanty ve ark. (2014) pattern arama algoritmasının bir uzantısı olan yerel tek modlu örnekleme optimizasyon (LUS) algoritmasına dayalı AVR sistem için PID parametrelerini elde edilmesine uyarlanmıştır ve ABC, PSO ve DE algoritmalarına göre daha kararlı ve daha iyi bir cevap vermiştir. Güvenç ve ark. (2016) AVR sistemde PID kontrolünün kontrol parametrelerini optimize etmek amacıyla biyocoğrafya tabanlı optimizasyon (BBO) algoritması önermişlerdir ve ABC, PSO ve DE algoritmalarına göre daha iyi ayarlama yeteneğine sahip olduğu belirlenmiştir. Hekimoğlu ve ark. (2018) AVR sisteme uygulanan optimal PID kontroller parametrelerinin ayarlanması amacıyla çekirge optimizasyon algoritması (GOA) kullanılmıştır. Algoritmanın etkinliğini ve sağlamlığını göstermek amacıyla ZN, DE ve ABC algoritmalarıyla karşılaştırmıştır. Hekimoğlu (2019), AVR sisteminin PID denetleyicisinin optimal parametrelerini ayarlamak amacıyla Sinüs-Cosinüs (SCA) seçmişlerdir ve algoritmayı test etmek amacıyla DE, ABC, BBO ve ZN kullanmışlardır. Diğer bir çalışmalarında ise böbrek ilhamlı algoritmayı(IKA) yine aynı sisteme uygulamışlardır (Ekinci ve Hekimoğlu, 2019). Micev ve ark. (2021) geliştirdikleri AVR sistemi için optimal PID parametrelerini belirlemek amacıyla yeni bir amaç fonksiyonu geliştirmiştir. Denge optimizasyon algoritması ile amaç fonksiyonunu kullanarak sistemin optimizasyonu sağlamışlardır. DO algoritmasının performansını test etmek amacıyla sağlamlık analizi yapmışlardır. Sonuç olarak geliştirilen algoritma literatürdeki algoritmalarla göre daha iyi sonuç vermiştir. Bu sonuçlara karşın AVR sistemine uygun çözümü bulmada kesin bir algoritma yoktur.

Tablo 1.

AVR-PID sistemi için literatürde kullanılan algoritmalar

| Algoritma | Yıl | Performans Kriteri |
|-------------------------------------|------|--------------------------|
| ABC (Gozden ve Taplamacioglu, 2011) | 2011 | ITSE |
| PSO (Gozden ve Taplamacioglu, 2011) | 2011 | ITSE |
| DE (Gozden ve Taplamacioglu, 2011) | 2011 | ITSE |
| MOL(Panda vd., 2012) | 2012 | ITAE, IAE, ITSE, ISE |
| LUS (Mohanty vd., 2014) | 2014 | ITAE, IAE, ITSE, ISE, OF |
| BBO (Guvenc vd., 2016) | 2016 | ITSE |
| GOA (Ekinci ve Hekimoğlu, 2019) | 2018 | ITSE |
| SCA (Hekimoğlu, 2019) | 2019 | ITSE, ZLG |
| IKA (Ekinci ve Hekimoğlu, 2019) | 2019 | ITSE, ZLG |

Bu çalışmada, AVR sistemin terminal geriliminin maksimum yüzde aşımı, yerleşme süresi, yükselme süresi ve kararlı durum hatasını en aza indirmek amacıyla yüksek dereceli bir AVR sistemi için DAA tabanlı bir PID denetleyicisi önerilmiştir. DAA kullanarak AVR sistemine uyarlanan PID denetleyicisinin K_p , K_i ve K_d parametrelerinin nasıl verimli bir şekilde elde edileceğine odaklanılmıştır. DAA basit olması, kolay ayarlanabilen parametreler ve esnek olması sebebiyle tercih edilmiştir. Burada algoritmanın basit olması, optimum denetleyici parametrelerinin belirlenerek istenen çıkışın yüksek kalitede elde edilmesini sağlamaktadır. Bunlara ek olarak algoritma optimal çözüm noktasına kararlı bir şekilde yakınsama gerçekleştirmektedir (Afshin vd., 2020). Sistemin dinamik yanıtı kullanılarak önerilen yaklaşımın performans üstünlüğü doğrulanmak için önerilen yaklaşımla literatürde bulunan sezgisel tabanlı yaklaşımlar karşılaştırılmıştır.

2. DENİZ YIRTİCİLARI ALGORİTMASI

Deniz yırtıcıları algoritması (DAA), deniz yırtıcıları ve avları arasındaki av-avcı sosyal ilişkisinden ilham alınarak Faramarzi ve ark. tarafından geliştirilmiştir (Faramarzi vd., 2020). DAA, deniz avcılının ve avlarının karşılaşma oranına bağlı olarak geliştirilen sezgisel optimizasyon algoritmadır (Chen vd., 2021). DAA başlangıç çözümü arama uzayında rasgele dağılımla başlar. DAA temelinde av ve avcı arasındaki hız oranına göre algoritmanın yapısındaki fazlar arasındaki geçiş sağlanmaktadır (Yousri vd., 2021). Deniz avcıları avlarını yakalarken adım boyutunu üç fazda tamamlamaktadır (Abdel-Basset vd., 2021). Algoritmanın birinci fazındaki en belirgin özellik büyük hızda sahip olmasıdır. Diğer fazlarda ise birlik ve zayıf oran ön plana çıkmaktadır.

DAA rasgele ve üniform dağılımlı olarak arama uzayı kullanılarak başlangıç çözümü belirlenir. Avcı sayısı n , yineleme sayısı m , optimizasyon parametresi boyutu d , Av avın ilk konumunu göstermektedir. Denklem 1'deki X_{max} ve X_{min} maksimum ve minimum değerleri, rand ise $[0,1]$ aralığında rasgele vektördür.

$$X_0 = X_{min} + rand(X_{max} - X_{min}) \quad (1)$$

Bu kısımda başlangıç popülasyonunun konumlarını tutan Av matrisi, en iyi uygunluk fonksiyonuna sahip *Elit* matrisini oluşturmaktadır. Her bir aşama aşağıdaki gibi özetlenmektedir.

Algoritmanın Faz 1 aşamasında av yüksek hızda sahip olduğu için *avcının* hareketini durdurulmalıdır. Bu süreç tüm iterasyonun yalnızca üçte biri için gerçekleştirilmektedir. Av Brownian hareketine göre davranışını belirlenir. Denklem 3 ile Av' in kullandığı matrisler güncellenmektedir. Denklem 2 ve 3'deki $P=0.5$, $R [0,1]$ arasındaki üniform dağılımlı rasgele sayılar ve R_B , Brownian hareketinin normal dağılımına dayalı rasgele sayılar içeren bir vektör olarak tanımlanmıştır.

$$\overrightarrow{adim}_t = \overrightarrow{R}_B \otimes (\overrightarrow{Elit}_t - (\overrightarrow{R}_B \otimes \overrightarrow{Av}_t)) \quad (2)$$

$$\overrightarrow{Av}_t = \overrightarrow{Av}_t + (P \cdot \overrightarrow{R} \otimes \overrightarrow{adim}_t) \quad (3)$$

Faz 2 aşamasında av ve $avcı$ aynı hızla hareket etmektedir ve algoritmanın ikinci üçte ikisine sahiptir. Burada Av ve $avcı$ farklı hareket metotları kullanmaktadır. Bu fazda, *Avcı* Brownian hareketini, *Av* ise Levy hareketini kullanmaktadır. R_L Levy'nin hareket normal dağılımına dayalı rasgele sayılar içeren bir vektör ile *Av* bu adımda çarpılmaktadır. Bu adımda popülasyonun ilk yarısının hareketleri Denklem 4 ve 5'e göre güncellenmektedir.

$$\overrightarrow{adim}_t = \overrightarrow{R}_L \otimes (\overrightarrow{Elit}_t - (\overrightarrow{R}_L \otimes \overrightarrow{Av}_t)) \quad (4)$$

$$\overrightarrow{Av}_t = \overrightarrow{Av}_t + (P \cdot \overrightarrow{R} \otimes \overrightarrow{adim}_t) \quad (5)$$

Popülasyonun diğer yarısı Denklem 6 ve 7'e göre güncellenmektedir. Elit matris R_B ile çarpılmaktadır. Burada *CF*, *Avcı* hareketi için adım boyutunu kontrol etmek için uyarlanabilir bir parametredir.

$$\overrightarrow{adim}_t = \overrightarrow{R}_B \otimes ((\overrightarrow{R}_B \otimes \overrightarrow{Elit}_t) - \overrightarrow{Av}_t) \quad (6)$$

$$\overrightarrow{Av}_t = \overrightarrow{Elit}_t + (P \cdot CF \otimes \overrightarrow{adim}_t) \quad (7)$$

$$CF = [1 - (Iter./Max.Iter)]^{(2.Iter./Max.Iter.)} \quad (8)$$

Faz 3 aşamasında ise avın avcıdan daha yavaş hareket ettiği varsayılmakta ve algoritma iterasyonun kalan kısmında A_{vc} tarafından Levy hareketini kullanmaktadır. Bu noktada $Elit$ matrisi R_L ile çarpılır. Av matrisi Denklem 10 kullanılarak güncellenmektedir.

$$\overrightarrow{adim}_i = \overrightarrow{R}_L \otimes (\overrightarrow{R}_L \otimes \overrightarrow{Elit}_i) - \overrightarrow{Av}_i) \quad (9)$$

$$\overrightarrow{Av}_i = \overrightarrow{Av}_i + (P.CF \otimes \overrightarrow{Av}_i) \quad (10)$$

DAA'da her yinelemeden sonra $Elit$ matrisi en iyi çözümlerle yer değiştirir. Ayrıca maksimum iterasyon sayısına ulaşıldığında veya algoritmanın durdurma kriteri sağlandığında elde eden çözüm son çözümüdür.

3. AVR SİSTEMİNİN MODELLENMESİ

3.1. AVR Sisteminin Matematiksel Modeli

AVR sisteminin kullanım amacı güç sisteminin kararlılığını ve kalitesini artırmada senkron jeneratörün terminal voltaj büyülüğünü önceden belirlenmiş bir seviyede tutmadır. AVR sisteminin matematiksel modellenmesinde yükselticiler, uyarıcı, jeneratör ve sensör gibi temel bileşenler kullanılmaktadır. Bu bileşenler zaman sabiti ve kazançlarından oluşan basitleştirilmiş birinci dereceden transfer fonksiyonu ile temsil edilir. K_A , K_E , K_G ve K_S sırasıyla yükseltici, uyarıcı, jeneratör ve sensör bileşenlerinin kazançları temsil ederken, T_A , T_E , T_G ve T_S aynı bileşenler için ilgili zaman sabitlerini temsil etmektedir. Bu bileşenlerin kazanç ve zaman sabitinden oluşan transfer fonksiyon modelleri Denklem 11-14 ile temsil edilmektedir. Bu bileşenlerin alabileceği parametre aralıkları ve bu çalışmada kullanılan parametre değerleri Tablo 2'de verilmiştir.

Yükselticinin transfer fonksiyonu:

$$G_A(s) = \frac{K_A}{1+sT_A} \quad (11)$$

Uyarıcının transfer fonksiyonu:

$$G_E(s) = \frac{K_E}{1+sT_E} \quad (12)$$

Sistemin en önemli parçası olan jeneratör transfer fonksiyonu:

$$G_G(s) = \frac{K_G}{1+sT_G} \quad (13)$$

Sensör bileşeninin transfer fonksiyonu:

$$G_S(s) = \frac{K_S}{1+sT_S} \quad (14)$$

Tablo 2

AVR bileşenlerinin parametreleri (Gaing 2004).

| Bileşenler | Parametre | |
|------------|---|-----------------------|
| | Alt ve Üst Sınırları | Değeri |
| Yükseltici | $10 \leq K_A \leq 40$, $0.02 \leq T_A \leq 0.1$ | $K_A = 10, T_A = 0.1$ |
| Uyarıcı | $1 \leq K_E \leq 10$, $0.4 \leq T_E \leq 1$ | $K_E = 1, T_E = 0.4$ |
| Jeneratör | $0.7 \leq K_G \leq 1$, $1 \leq T_G \leq 2$ | $K_G = 1, T_G = 1$ |
| Sensör | $0.9 \leq K_S \leq 1.1$, $0.001 \leq T_S \leq 0.06$ | $K_S = 1, T_S = 0.01$ |

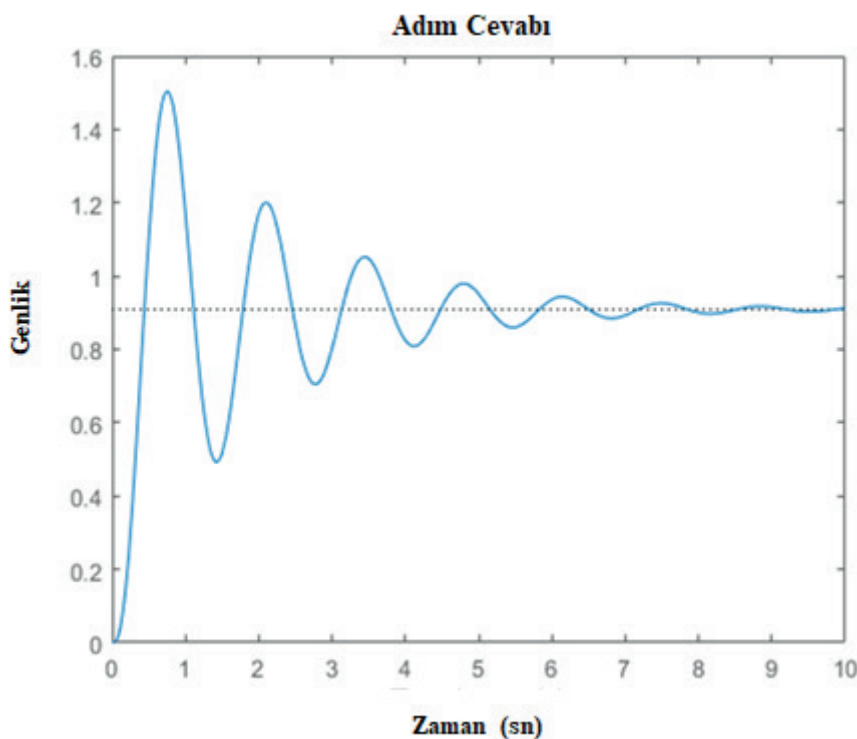
Denetleyici olmaksızın AVR sisteminin transfer fonksiyonu Denklem 15'te verilmiştir. Burada $V_t(s)$ jeneratör terminal gerilimi, $V_{ref}(s)$ referans giriş gerilimini temsil etmektedir.

$$\frac{V_t(s)}{V_{ref}(s)} = \frac{K_a K_e K_g (1+sT_S)}{(1+sT_A)(1+sT_E)(1+sT_g)(1+sT_S) + K_a K_e K_g K_s} \quad (15)$$

Tablo 2'deki verilen bileşen parametreleri AVR sisteme uygulandıktan sonra elde edilen transfer fonksiyonu Denklem 16'da verilmiştir.

$$G(s) = \frac{V_t(s)}{V_{ref}(s)} = \frac{0.1s+10}{0.004s^4+0.0454s^3+0.555s^2+1.51s+11} \quad (16)$$

PID kontrollsüz AVR sistemin terminal gerilimindeki artımlı değişimin adım cevabı Şekil 1'de gösterilmiştir. Bu koşullardaki sistemin sıfır noktası $z = -100$, $s1 = -98.8170$ ve $s2 = -12.6261$ gerçek kutba ve $s3 = -0.5285 + 4.6649i$ ve $s4 = -0.5285 - 4.6649i$ karmaşık kutba sahip olduğundan dolayı sistem kararlıdır. AVR sisteminin yükselme zamanı (tr) 0.2626 sn, tepe zamanı (tp) 0.7513 sn, yerleşme zamanı (ts) 6.9662, yüzdelik aşım (M_p) %65.43 ve kalıcı durum hatası (Ess) 0.0909'dur.



Şekil 1. PID kontrollsüz AVR sistemin terminal gerilimindeki artımlı değişimi

3.2. PID Denetleyicisinin Matematiksel Modeli

PID denetleyicinin sistemlere göre adapte olması basit olduğundan dolayı endüstri de yaygın olarak kullanılmaktadır (Gozden ve Taplamacioglu, 2011). Jeneratör çıkış gerilimi (V_t), Referans gerilimine ulaşabilmek için sürekli olarak PID denetleyicisini kullanarak genliğini düzeltmeye çalışmaktadır (Blondin vd., 2018). PID denetleyicisinin s düzleminde verilen transfer fonksiyonu Denklem 17 ile ifade edilir (Li vd., 2006). Burada $U(s)$ kontrol sinyali, $E(s)$ ise ölçülen ve istenen işlemler arasındaki hata, K_p , K_i ve K_d sırasıyla orantılı, integral ve türev kazançlardır.

$$G_{PID}(s) = P + I + D = \frac{U(s)}{E(s)} = K_p + \frac{K_i}{s} + K_d s \quad (17)$$

PID kontrollü AVR sisteminin transfer fonksiyonu Denklem 18'de verilmiştir. Tablo 1'deki verilen değerler AVR sisteme uygulandığında elde edilen PID kontrollü AVR sistemin transfer fonksiyonu Denklem 18'de verilmiştir.

$$\frac{V_t(s)}{V_{ref}(s)} = \frac{K_a K_e K_g (1+sT_s)(s^2 K_d + sK_p + K_i)}{s(1+sT_a)(1+sT_e)(1+sT_g)(1+sT_s) + K_a K_e K_g K_s (s^2 K_d + sK_p + K_i)} \quad (18)$$

3.3. Amaç Fonksiyonun Tasarımı

PID denetleyicisinin parametrelerinin optimizasyonu sağlanabilmesi için bir amaç fonksiyonu tanımlanması gerekmektedir. Sistemi optimize edecek amaç fonksiyonu, AVR sisteminin geçici durum parametrelerinden yükselme zamanı, tepe zamanı, yüzdelik aşım ve kalıcı durum hatası gibi çıktıları içermesi gerekmektedir. Optimizasyon sürecinde asıl değişkenler sistemin kontrolünü gerçekleştiren PID denetleyicisinin parametrelerinin (K_p , K_i , K_d) optimize edilmesi ile sağlanmaktadır. Literatürde denetleyicileri analiz etmek amacıyla yükselme zamanı, tepe zamanı, yüzdelik aşım ve kalıcı durum hatası gibi farklı performans kriterleri de bulunmaktadır. Mutlak hatanın integrali (IAE), hata karelerinin toplamı (ISE), zaman ağırlıklı hata karelerinin toplamı (ITSE) bunlar arasında en fazla tercih edilendir. Bu çalışmada ise ISE, ITSE, Zamanın Karesel İntegrali (IT2SE) ve Zwe-Lee Gaing (ZLG) klasik yöntemi kullanılmaktadır. ZLG zaman alanlı $M_p\%$, E_{ss} , t_s ve t_r içeren geçici yanıt kriterlerini içeren bir amaç fonksiyonudur. β ise 0.5 ve 1.5 arasında ayarlanabilen ağırlık vektördür. Bu çalışma da ise β değeri 1 olarak belirlenmiştir. Matematiksel olarak ISE, ITSE, IT2SE ve ZLG Tablo 3'te verilen Denklem 19-22 ile ifade edilmektedir. Simülasyon zamanı t , $e_v(t)$ AVR çıkış terminallerinde ölçülen voltaj ile referans voltaj arasındaki fark hata sinyalini ifade etmektedir.

Tablo 3
Performans Kriterleri ve Matematiksel Denklemeleri

| Performans Kriteri | Matematiksel Denklem | |
|--------------------|---|------|
| ISE | $F(t) = \int (e_v(t)^2) dt$ | (19) |
| ITSE | $F(t) = \int t(e_v(t)^2) dt$ | (20) |
| IT2SE | $F(t) = \int (-e_v(t)) ^2 dt$ | (21) |
| ZLG | $F(t) = (1 - e^{-\beta}) \cdot (M_p + E_{ss}) + e^{-\beta} (t_s - t_r)$ | (22) |

4. SİMÜLASYON SONUÇLARI

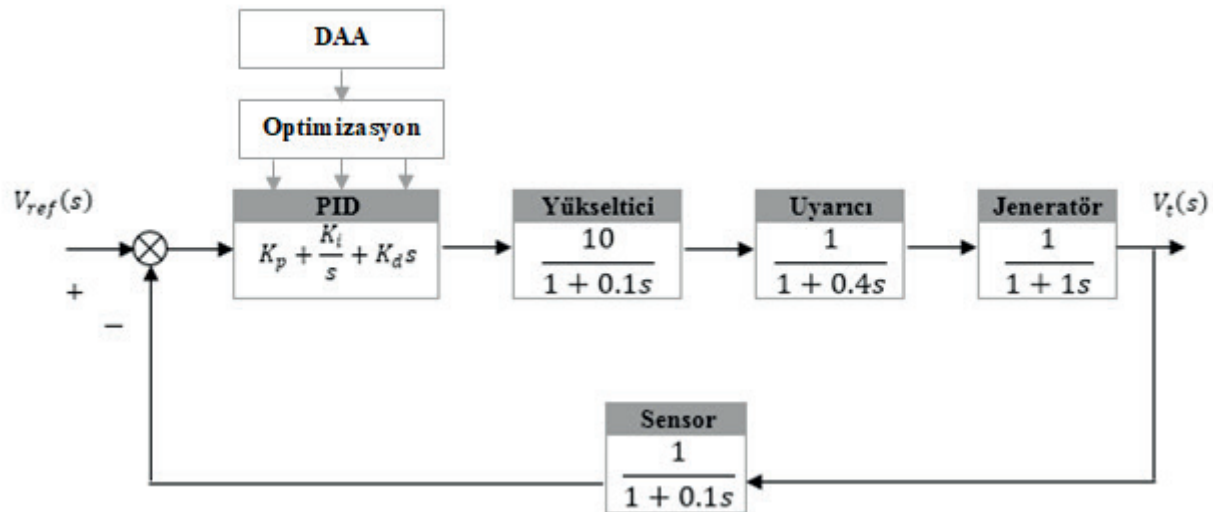
İstatistiksel analizler, PID denetleyicisinin mühendislik çalışmaları için uygun olup olmadığı konusunda referans olarak gösterilmektedir. Bu makalede AVR sisteminin geçici durum yanıtını iyileştirmek amacıyla DAA-PID olarak adlandırılan PID denetleyicisi ile kontrol edilen DAA algoritması önerilmiştir.

MATLAB R2019 kullanılarak gerçekleştirilen istatistiksel analizlerde algoritma 30 kere bağımsız çalıştırılarak elde edilmiştir. DAA'da sürü sayıısı 25 ve iterasyon boyutu 100 olarak belirlenmiştir. Algoritmalar arasında en iyi olanı bulmak amacıyla performans kriteri olarak ISE, ITSE, IT2SE ve ZLG seçilmiştir. PID kontrolünün dinamik yanıtını iyileştirmek ve sabit durum hatasını azaltmak veya ortadan kaldırmak amacıyla kazanç parametrelerinin ayarlanması optimizasyon tekniklerinin kullanılması tercih edilmiştir. Ayrıca optimizasyon tekniklerinde arama sürecinin kalitesini artırmak amacıyla arama uzayının sınırların belirlenmesi gerekmektedir. Bunlara ek olarak da PID kontrolünün alt ve üst sınırlarının doğru belirlenmesi kararlılığı üzerinde etkilidir. Bu çalışmada kullanılan PID kontrol parametrelerinin alt ve üst sınırları Tablo 4'te verilmiştir.

Tablo 4
PID kontrol parametre sınırları

| Sınır | PID Parametreleri | | |
|-------|-------------------|----------------|----------------|
| | K _p | K _i | K _d |
| Alt | 0.2 | 0.2 | 0.2 |
| Üst | 2 | 2 | 2 |

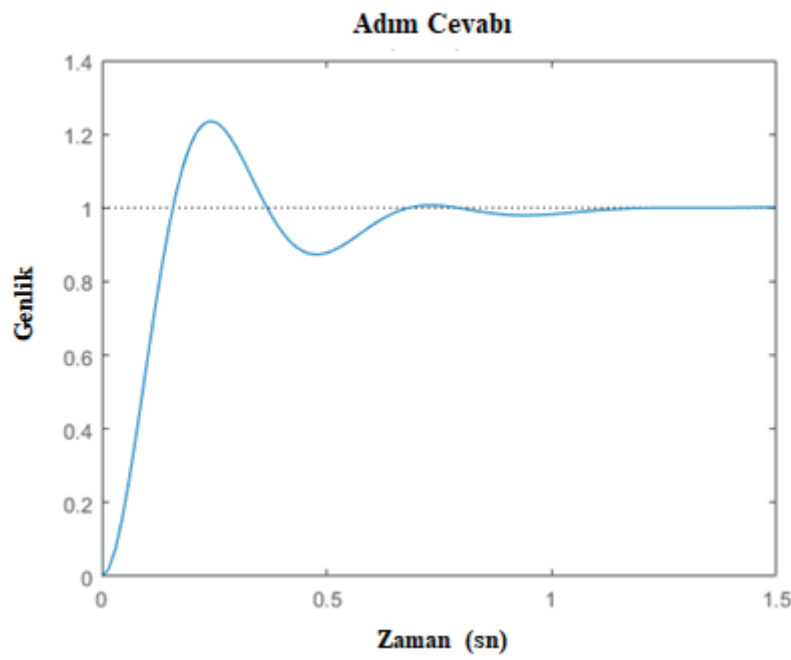
PID kontrollörlü AVR sisteminin transfer fonksiyon model diyagramı Şekil 2'de (Mohanty vd., 2014) ve uygulanan adım cevabı Şekil 3'te gösterilmiştir. Bunlara ek olarak DAA ile optimize edilen PID kontrolünü karşılaştırmak amacıyla literatürde bulunan ABC (Gozde ve Taplamacioglu, 2011), LUS (Bhookya ve Jatoh, 2019), PSO (Gozde ve Taplamacioglu, 2011), DE (Gozde ve Taplamacioglu, 2011), BBO (Guvencet vd., 2016), GOA (Ekinci ve Hekimoğlu, 2019), PSA (Bhullar vd., 2020), SCA (Ekinci vd., 2019) ve IKA (Hekimoğlu 2019) algoritmalar seçilmiştir.



Şekil 2. PID kontrollü AVR sistem tasarımlı

Şekil 2'de verilen sistem Denklem 19 ile ifade edilmektedir.

$$G(s) = \frac{V_t(s)}{V_{ref}(s)} = \frac{0.07361s^3 + 7.505s^2 + 14.5s + 12.2}{0.004s^5 + 0.0454s^4 + 0.555s^3 + 8.871s^2 + 15.38s + 12.2} \quad (19)$$



Şekil 3. PID kontrollü AVR sistemin terminal gerilimindeki artımlı değişimi

DAA'da seçilen amaç fonksiyonlarında elde edilen PID parametreleri birbirlerine yakındır. Fakat amaç fonksiyon değerleri birbirlerinden farklıdır. DAA kullanılarak elde edilen $K_p = 1.4381$, $K_i = 1.2204$ ve $K_d = 0.7361$ optimize edilmiş PID parametreleridir.

PID kontrollü AVR sistemin terminal gerilimindeki artımlı değişimin adım cevabı Şekil 3'te gösterilmiştir. Adım cevabıyla terminal gerilim kararlılığı ve tepkisi test edilmiştir. Bunlara ek olarak sisteminin yükselme zamanı, tepe zamanı, yerleşme zamanı da kontrol edilmektedir. Bu koşullardaki sistemin $s_1 = -101.9900$ gerçek kutup ve $s_2 = -4.8301 + 13.07889i$, $s_3 = -4.8301 - 13.07889i$ ve $s_4 = -0.9239 + 0.82750i$, $s_5 = -0.9239 - 0.82750i$ karmaşık kutuplara sahip olduğundan dolayı sistem kararlıdır. AVR sisteminin yükselme zamanı ($tr = 0.1065$), tepe zamanı ($tp = 0.2420$), yerleşme zamanı $ts = 0.9580$ yüzdelik aşım ($M_p = \%23.56$) ve kalıcı durum hatası ($Ess = 7.3275e-15$)dır. Bununla beraber bode diyagramından elde edilen tepe kazancı, faz marjı ve bant genişlik parametreleri sırasıyla 3.09 db, 62.7° ve 19.22 olarak hesaplanmıştır. Sonuç olarak DAA'sı PID kontrol sisteminin frekans yanıtını iyileştirdiği görülmektedir. Önerilen algoritma ve literatürdeki algoritmalar ile tasarlanan AVR sisteminin karşılaştırmalı kutup/sıfır haritası Tablo 5'de verilmiştir. Tablo 5'de yer alan tüm sistemler kapalı döngü kutupları sol düzlemden sol-yarısında bulunduğundan dolayı gerçekleştirilen tüm AVR sistemleri kararlı olduğu açık bir şekilde görülmektedir.

Tablo 5

PID Tabanlı AVR Sisteminin Karşılaştırmalı Kapalı Çevrim Kutupları ve Sönüüm Oranları

| Denetleyici | Çevrim Kutupları | Sönüüm Oranları | Denetleyici | Çevrim Kutupları | Sönüüm Oranları |
|-------------|--------------------|-----------------|-------------|------------------|-----------------|
| DAA | -102 | 1.00 | GOA | -101 | 1.00 |
| | -4.8300 + 13.0100i | 0.346 | | -1.18 + j1.06 | 0.74 |
| | -4.8300 - 13.0100i | 0.346 | | -1.18 - j1.06 | 0.74 |
| | -0.9240 + 0.8280i | 0.745 | | -4.83 + j10.9 | 0.40 |
| | -0.9240 - 0.8280i | 0.745 | | -4.83 - j10.9 | 0.40 |
| BBO | -101.25 | 1.00 | PSO | -102 | 1.00 |
| | -4.8024+9.892i | 0.437 | | -1.02 | 1.00 |
| | -4.8024-9.892i | 0.437 | | -2.00 | 1.00 |
| | -2.0568 | 1.00 | | -4.64 + j9.50 | 0.439 |
| | -0.58505 | 1.00 | | -4.64 - j9.50 | 0.439 |
| IKA | -102 | 1.00 | DE | -100.91 | 1.00 |
| | -5.13+11.7i | 0.40 | | -3.02 + j8.19 | 0.34 |
| | -5.13-11.7i | 0.40 | | -3.02 - j8.19 | 0.34 |
| | -0.80+0.93i | 0.65 | | -6.29 | 1.00 |
| | -0.80-0.93i | 0.65 | | -0.22 | 1.00 |
| LUS | -101.25 | 1.00 | SCA | -101.37 | 1.00 |
| | -4.8842+9.8807i | 0.443 | | -5.16 + j10.52 | 0.44 |
| | -4.8842-9.8807i | 0.443 | | -5.16 - j10.52 | 0.44 |
| | -1.2388+0.56033i | 0.911 | | -0.91 + j0.82 | 0.74 |
| | -1.2388-0.56033i | 0.911 | | -0.91 - j0.82 | 0.74 |
| PSA | -101.3 | 1.00 | ABC | -100.98 | 1.00 |
| | -4.8163+10.109i | 0.430 | | -3.7585+8.4058i | 0.408 |
| | -4.8163-10.109i | 0.430 | | -3.7585-8.4058i | 0.408 |
| | -1.2829+0.14614i | 0.994 | | -4.7483 | 1.00 |
| | -1.2829-0.14614i | 0.994 | | -0.25108 | 1.00 |

Tablo 6 incelendiğinde maksimum aşım ve yerleşme zamanı daha fazla olduğu için kontrollsüz sistem yavaş tepki vermektedir. Sisteme PID kontrol eklendiğinde bu değerlerin düşüğü görülmektedir. Ayrıca kalıcı durum hatası kontrollü sistemde da düşüktür.

Tablo 6

Kontrollsüz ve kontrollü PID denetleyicisinin geçici tepkisinin sonuçları

| PID | MP (%) | Tepe Değeri(sn) | Tr (sn) | Tp (sn) | Ts(sn) | Ess |
|-------------|--------|-----------------|---------|---------|--------|------------|
| Kontrollsüz | 65.43 | 1.5066 | 0.2626 | 0.7513 | 6.9662 | 0.0909 |
| Kontrollü | 23.56 | 1.2350 | 0.1065 | 0.2420 | 0.9580 | 7.3275e-15 |

Sistemin kontrol parametre değerleri, ISE, ITSE, IT2SE ve ZLG uygunluk fonksiyonu değeri Tablo 7'de listelenmiştir. ITSE amaç fonksiyonu göz önünde bulundurulduğunda minimum değeri DAA uygunluk değeri (0.0055) vermektedir. DAA minimum hata verdiğiden dolayı daha güvenilir ve daha doğrudur. Tablo 7-8'de verilen kalın değerler kontrollerin elde edilen minimum sonuçları göstermektedir.

Tablo 7

PID kontrollerin optimum parametreleri

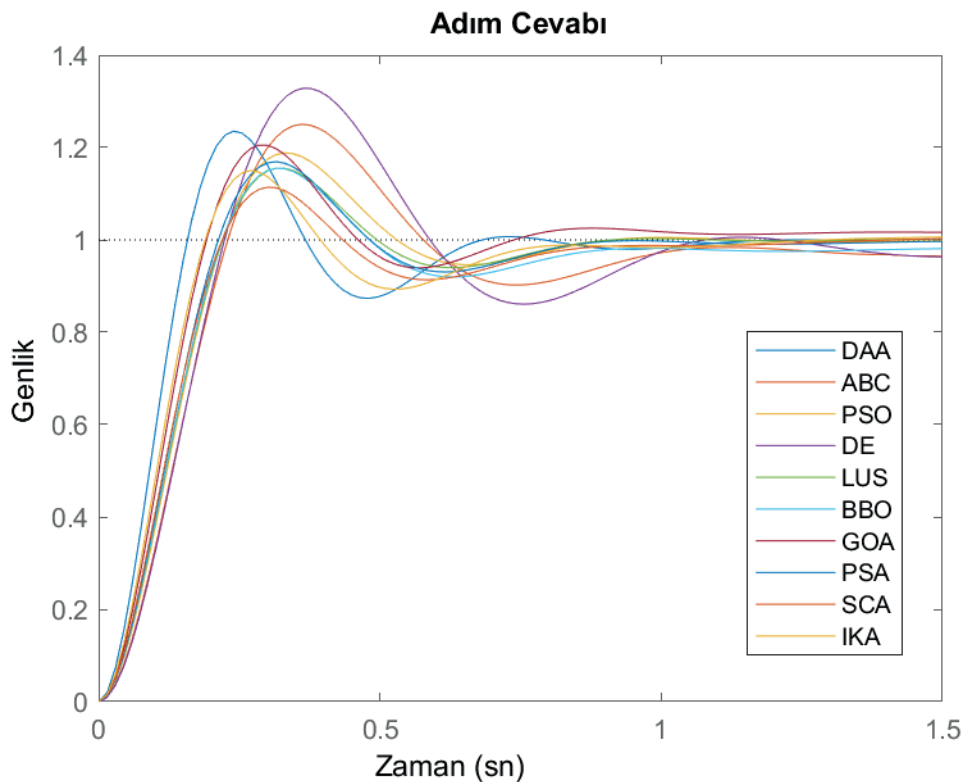
| Algoritma | K _p | K _i | K _d | I _{SE} | I _{TSE} | I _{T2SE} | ZLG |
|-----------|----------------|----------------|----------------|-----------------|------------------|-------------------|---------------|
| DAA | 1.4381 | 1.2204 | 0.7361 | 0.0753 | 0.0055 | 0.0016 | 0.4622 |
| ABC | 1.6524 | 0.4083 | 0.3654 | | 0.0125 | | |
| PSO | 1.3541 | 0.9266 | 0.4378 | | 0.0071 | | 0.3640 |
| DE | 1.9499 | 0.4430 | 0.3427 | | 0.0235 | | 1.1272 |
| LUS | 1.2012 | 0.9096 | 0.4593 | 0.0750 | 0.0850 | | |
| BBO | 1.2464 | 0.5893 | 0.4596 | | 0.0073 | | |
| GOA | 1.3825 | 1.4608 | 0.5462 | | 0.0063 | | 0.4390 |
| PSA | 1.2771 | 0.8471 | 0.4775 | | 0.0064 | | 0.3496 |
| SCA | 0.9826 | 0.8337 | 0.4982 | | 0.0064 | | |
| ika | 1.0426 | 1.0093 | 0.5999 | | 0.0061 | | 0.3247 |

Tablo 8

Çeşitli denetleyiciler için geçici cevap analiz sonuçları

| Algoritma | Geçici Durum Parametreleri | | | | Amaç Fonksiyonu |
|-----------|----------------------------|-------------------|----------------|----------------|-----------------|
| | M _p | T _{s(s)} | T _r | T _p | |
| DAA | 1.235 | 0.9580 | 0.1065 | 0.242 | 0.0055 |
| ABC | 1.250 | 0.9200 | 0.1560 | 0.360 | 0.0125 |
| PSO | 1.882 | 0.8120 | 0.1490 | 0.328 | 0.0071 |
| DE | 3.285 | 2.6490 | 0.1520 | 0.360 | 0.0235 |
| LUS | 1.156 | 0.6960 | 0.1490 | 0.322 | 0.0064 |
| BBO | 1.160 | 0.7660 | 0.1490 | 0.317 | 0.0073 |
| GOA | 2.053 | 0.9710 | 0.1300 | 0.286 | 0.0063 |
| PSA | 1.684 | 0.8040 | 0.1440 | 0.316 | 0.0064 |
| SCA | 1.114 | 0.7240 | 0.1480 | 0.304 | 0.0064 |
| ika | 1.150 | 0.753 | 0.128 | 0.269 | 0.0061 |

Tablo 7'deki optimum parametre sonuçları incelendiğinde AVR sistemi için önerilen DAA'nın literatürdeki diğer algoritmala göre daha iyi sonuç verdiği görülmektedir. Sistemin geçici cevap Mp, Tr, Ts veTp analiz değerleri ve ITSE amaç fonksiyonu değeri Tablo 8'de listelenmiştir. Tablo 8'ye göre minimum aşım noktası SCA algoritmasıken yerleşim süresinde LUS algoritması, yükselme ve tepe sürelerinde diğer algoritmalarla göre DAA algoritması daha yavaş gerçekleştirmektedir. DAA maksimum aşma ve yerleşme zamanı olarak PSO, DE ve GOA algoritmalarına daha düşük değerlere sahiptir. Bu da DAA temelli sistemin daha hızlı yanıt verdiği göstermektedir. Performans kriterine göre minimum değeri önerilen DAA algoritması verdiği için PID kontrollü AVR sistemi tasarımda en iyi performansı gösterdiği belirlenmiştir. Tablo 7-8'de verilen algoritmaların PID denetleyicisinin K_p, K_i, K_d kazanım parametreleri ile elde edilen gerilim değişim eğrisi Şekil 4'te karşılaştırılmış olarak verilmiştir.



Şekil 4. Çeşitli denetleyiciler için AVR sistemin terminal gerilimindeki artımlı değişimi

Sağlamlık analizi denetleyicinin sistem parametrelerindeki belirsizlikleri tolere etme yeteneğini değerlendirmek amacıyla gerçekleştirilir. AVR sisteminin zaman sabitleri (T_a , T_e , T_g ve T_s) değişim aralığı %25'lik adım boyutlarıyla nominal değerlerinin $\mp 50\%$ 'si aralığında ayrı ayrı değiştirilmiştir. AVR sisteminin geçici tepki özellikleri de Tablo 9'da verilmiştir. Tablo 7'da açıkça görüldüğü üzere DAA tabanlı nominal şartlar altında tasarlanan PID denetleyicisinin parametrelerinin değişmesi geçici tepki değerlerini değiştirmiştir. Buna ek olarak sağlamlık analizinde parametrelerdeki değişimin tolere edilebilir olduğu ortaya çıkmıştır. Sonuç olarak önerilen DAA-PID tabanlı AVR sisteminin sağlam olduğunu göstermektedir.

Tablo 9
AVR Sisteminin Gürbüzlük Analizi Sonuçları

| Model Parametreleri | Değişim Oranı(%) | M_p | $t_s(s)$ | $t_r(s)$ | $t_p(s)$ |
|---------------------|------------------|---------------|---------------|---------------|---------------|
| T_a | - | 1.2350 | 0.9580 | 0.1065 | 0.2420 |
| | -50 | 1.2056 | 8.0567 | 0.0610 | 0.1342 |
| | -25 | 1.3913 | 1.2350 | 0.0574 | 0.1409 |
| | +25 | 1.2571 | 5.9448 | 0.0939 | 0.2117 |
| | +50 | 1.2007 | 1.0448 | 0.1863 | 0.4220 |
| | -50 | 1.5799 | 7.6024 | 0.0409 | 0.1075 |
| T_e | -25 | 1.0609 | 4.0421 | 0.1465 | 2.7384 |
| | +25 | 1.1403 | 2.6798 | 0.1359 | 0.2774 |
| | +50 | 1.2666 | 1.1281 | 0.1036 | 0.2408 |
| | -50 | 1.4402 | 1.1954 | 0.0574 | 0.1412 |
| T_g | -25 | 1.1804 | 2.5171 | 0.0982 | 0.2106 |
| | +25 | 1.2409 | 4.0519 | 0.0903 | 0.2022 |
| | +50 | 0.1199 | 5.6915 | 0.1199 | 0.2461 |
| | -50 | 1.1725 | 1.5521 | 0.1018 | 0.2120 |
| T_s | -25 | 1.3332 | 0.8244 | 0.0764 | 0.1798 |
| | +25 | 1.5228 | 2.0976 | 0.0565 | 0.1504 |
| | +50 | 1.5751 | 1.8417 | 0.0563 | 0.1482 |

5. SONUÇLAR

Bu makalede DAA tabanlı AVR sistemini optimal PID kontrol parametreleriyle gerçekleştirilmesi amaçlanmıştır. PID kontrol parametreleri aşım, kararlı durum hatası, yükselme süresi, yerleşme sürelerinin etkisiyle oluşan ISE, ITSE, IT2SE ve ZLG amaç fonksiyonu ile minimize edilerek belirlenmektedir. Önerilen sistemin performansı geçici durum yanıtları ve kalıcı durum hatasını göz önünde bulundurarak literatürde bulunan ABC, LUS, PSO, DE, BBO, GOA, PSA, SCA ve IKA optimizasyon algoritmalarıyla karşılaştırılmıştır. Önerilen yaklaşım literatürdeki bazı yaklaşılara göre üstünlüğü göstermek amacıyla geçici yanıt cevabı, kök konum ve bode analizi kullanılmıştır. Bu analizlere ek olarak sistem parametreleri değiştirilerek AVR sistemin saflamlık analizi gerçekleştirilmiştir. Simülasyon sonuçlarına göre DAA tabanlı PID kontrollerin geçici davranış yanıtlarından yükselme, tepe değerleri ve ITSE amaç fonksiyonu açısından diğer algoritmalarla göre daha iyi sonuçlar vermiştir.

Hakem Değerlendirmesi: Dış bağımsız.

Çıkar Çatışması: Yazarlar çıkar çatışması beyan etmemiştirlerdir.

Finansal Destek: Yazarlar bu çalışma için finansal destek almadığını beyan etmemiştirlerdir.

Yazar Katkıları: Çalışma Konsepti/Tasarım- Z.G., M.E.Ç.; Veri Toplama- Z.G., M.E.Ç.; Veri Analizi/Yorumlama- Z.G., M.E.Ç. ; Yazı Taslağı- Z.G.; İçerigin Eleştirel İncelemesi- Z.G.; Son Onay ve Sorumluluk- Z.G., A.F.B.; Supervision- Z.G.

Peer-review: Externally peer-reviewed.

Conflict of Interest: The authors have no conflict of interest to declare.

Grant Support: The authors declared that this study has received no financial support.

Author Contributions: Conception/Design of Study- Z.G., M.E.Ç.; Data Acquisition- Z.G., M.E.Ç.; Data Analysis/Interpretation- Z.G., M.E.Ç.; Drafting Manuscript- Z.G.; Critical Revision of Manuscript- Z.G; Final Approval and Accountability- - Z.G., A.F.B.; Supervision- Z.G.

Kaynaklar/References

- Abdel-Basset, M., El-Shahat, D., Chakrabortty, R.K. & Ryan, M. (2021). Parameter estimation of photovoltaic models using an improved marine predators algorithm, *Energy Conversion and Management*, 227, 113491. <https://doi.org/10.1016/j.enconman.2020.113491>.
- Ayas, M.S. (2019). Design of an optimized fractional high-order differential feedback controller for an AVR system. *Electrical Engineering*, 101, 1221–1233. <https://doi.org/10.1007/s00202-019-00842-5>.
- Bhookya, J., Jatoh, R. K. (2019). Optimal FOPIID/PID controller parameters tuning for the AVR system based on sine–cosine-algorithm. *Evolutionary Intelligence*, 12, 725–733.<https://doi.org/10.1007/s12065-019-00290-x>.
- Bhullar, A.K., Kaur, R. & Sondhi, S. (2020). Enhanced crow search algorithm for AVR optimization. *Soft Computing*, 24, 11957–11987.<https://doi.org/10.1007/s00500-019-04640-w>.
- Bingul, Z., & Karahan, O. (2018). A novel performance criterion approach to optimumdesign of PID controller using cuckoo search algorithm for AVR system. *Journal of the Franklin Institute*, 355, 5534–5559. <https://doi.org/10.1016/j.jfranklin.2018.05.056>
- Blondin, M., Sanchis, J., Sicard P. & Herrero J.M. (2018). New optimal controller tuning method for an AVR system using a simplified Ant Colony Optimization with a new constrained Nelder–Mead algorithm. *Appl Soft Comput*, 62, 216–229. <https://doi.org/10.1016/j.asoc.2017.10.007>
- Blondin, M.J., Sanchis, J. Sicard, P. & Herrero, J.M. (2018). New optimal controller tuning method for an AVR system using a simplified Ant Colony Optimization with a new constrained Nelder–Mead algorithm. *Applied Soft Computing*, 62, 216–229. <https://doi.org/10.1016/j.asoc.2017.10.007>.
- Celik, E. (2018). Incorporation of stochastic fractal search algorithm into efficient design of PID controller for an automatic voltage regulator system. *Neural Computing and Applications*, 30, 1991–2002. <https://doi.org/10.1007/s00521-017-3335-7>.
- Chen, X., Qi, X., Wang Z., Cui, C., Wu, B. & Yang Y. (2021) .Fault diagnosis of rolling bearing using marine predators algorithm-based support vector machine and topology learning and out-of-sample embedding. *Measurement*, 176, 109116. <https://doi.org/10.1016/j.measurement.2021.109116>.
- Ekinci, S. & Hekimoğlu, B. (2019). Improved Kidney-Inspired Algorithm Approach for Tuning of PID Controller in AVR System. *IEEE Access*, 7, 2169–3536. <http://dx.doi.org/10.1109/ACCESS.2019.2906980>.
- Faramarzi, A., Heidarinejad, M., Mirjalili, S. & Gandomi, A. H. (2020). Marine predator algorithm, a nature-inspired metaheuristic. *Int J Expert Syst Appl*, 52, 113377. <https://doi.org/10.1016/j.eswa.2020.113377>.
- Faramarzi, A., Heidarinejad, M., Mirjalili, S. & Gandomi, A. H. (2020). Marine Predators Algorithm, A nature-inspired metaheuristic. *Expert Systems With Applications*, 152, 113377. <https://doi.org/10.1016/j.eswa.2020.113377>.
- Gaing, L. (2004). A particle swarm optimization approach for optimum design of PID controller in AVR system. IEEE Trans. *Energy Convers.*, 19(2), 384–391. <https://doi.org/10.1109/TEC.2003.821821>
- Gozde, H., & Taplamacioglu, M.C. (2011). Comparative performance analysis of artificial bee colony algorithm for automatic voltage regülatör (AVR) system. *Journal of the Franklin Institute*, 348, 1927–1946. <http://dx.doi.org/10.1016/j.jfranklin.2011.05.012>
- Guvenc, U., Yiğit, T., İşık, A.H. & Akkaya İ. (2016). Performance analysis of biogeography-based optimization for automatic voltage regulator system.

- Turk J Elec Eng & Comp Sci, 24, 1150 -1162. <http://dx.doi.org/10.3906/elk-1311-11>.
- Hekimoğlu, B. & Ekinci, S. (2018). Grasshopper Optimization Algorithm for Automatic Voltage Regulator System. *5th International Conference on Electrical and Electronics Engineering*, 152-156.
- Hekimoğlu, B. (2019). Sine-cosine algorithm-based optimization for automatic voltage regulator system. *Transactions of the Institute of Measurement and Control*, 41(6), 1761–1771. <http://dx.doi.org/10.1177/0142331218811453>.
- Li, Y., Ang, K.H. & Chong, G.C.Y. (2006). PID control system analysis and design. *IEEE Control Systems Magazine*, 26(1), 32-41. <https://doi.org/10.1109/TCST.2005.847331>.
- Micev, M., Calasan, M., Ali, Z.M., Hasanien, H.M. & Aleem, S.H.E. A. (2021). Optimal design of automatic voltage regulation controller using hybrid simulated annealing – Manta ray foraging optimization algorithm. *Ain Shams Engineering Journal*, 12, 641–657. <https://doi.org/10.1016/j.asej.2020.07.010>.
- Mohanty, P.K., Sahu, B.K. & Sidhartha Panda (2014) Tuning and Assessment of Proportional–Integral–Derivative Controller for an Automatic Voltage Regulator System Employing Local Unimodal Sampling Algorithm. *Electric Power Components and Systems*, 42(9), 959-969. <http://dx.doi.org/10.1080/15325008.2014.903546>
- Panda, S., Sahub, B.K. & Mohanty, P.K. (2012). Design and performance analysis of PID controller for an automatic voltage regulator system using simplified particle swarm optimization. *Journal of the Franklin Institute*, 349, 2609–2625. <http://dx.doi.org/10.1016/j.jfranklin.2012.06.008>
- Sahib, M.A. (2015). A novel optimal PID plus second order derivative controller for AVR system. *Engineering Science and Technology an International Journal*, 18(2), 194-206. <https://doi.org/10.1016/j.estch.2014.11.006>.
- Yousri, D., Hasanien, H.M. & Fathy, A. (2021). Parameters identification of solid oxide fuel cell for static and dynamic simulation using comprehensive learning dynamic multi-swarm marine predators algorithm. *Energy Conversion and Management*, 228, 113692. <https://doi.org/10.1016/j.enconman.2020.113692>.